

弯曲分流に関する流量，流砂量配分について

舞鶴工業高等専門学校 正員 ○ 川合 茂
 京都大学 防災研究所 正員 芦田和男
 舞鶴工業高等専門学校 正員 田中祐一郎

1. はしがき 分流は代表的な河川工法の一つとして，その実施例は少なくない。しかし分流特有の三次元的な複雑な流れを呈することから，その水理については十分な検討が必要とされる。そのために多くの研究が行われてきたが，ほとんどが丁型分流を対象としたものである。弯曲分流は，Habermas¹⁾による実験以外あまり見られな。そこで，本研究は，90°弯曲水路の外岸に分水路を設置した場合の，分水路の取り付け位置による，流量，流砂量配分比の変化について若干の実験的検討を行ったものである。

2. 実験概要 実験水路は図-1に示すような主水路幅50cm，分水路幅25cm，勾配1/1000の長方形断面コンクリート製で，曲率半径Rに対する主水路幅B₀の比は3となっている。行った実験は表-1に示すように，分水路A(偏角45°)，B(65°)，C(90°)，D(Cの下流5B₀)，E(Cの下流10B₀)と単一弯曲水路Fの6種に対して流量3種類の計18ケースである。測定項目は水面形，流速，流線および死水域の形状である。流速は小型石ロヤ流速計で，流線は表層流はパンチくずを，底層流は直径約5mmの軽量屑材を流し，8mmカメラにて撮影した。死水域は注射針で濁マンガン酸カリ溶液を注入し，目視により定めた。なお河床には約10mm径の軽量屑材を千鳥状5cm間隔にイ型粗度として埋め込込である。流量は三角堰により計量した。

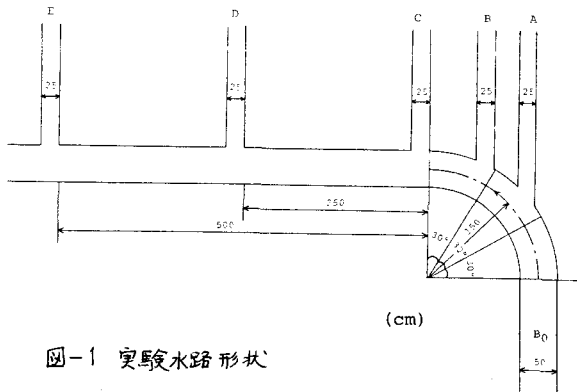


図-1 実験水路形状

表-1 実験条件およびその結果

Exp. No.	Q (l/s)	α	α_b	α_b/α
A	1 2.0	0.330	0.352	1.067
	2 5.0	0.346	0.386	1.116
	3 12.0	0.352	0.335	0.952
B	1 2.0	0.330	0.269	0.815
	2 5.0	0.316	0.259	0.819
	3 12.0	0.317	0.000	0.000
C	1 2.0	0.215	0.088	0.409
	2 5.0	0.226	0.087	0.385
	3 12.0	0.242	0.000	0.000
D	1 2.0	0.195	0.241	1.236
	2 5.0	0.212	0.336	1.585
	3 12.0	0.208	0.362	1.740
E	1 2.0	0.200	0.285	1.425
	2 5.0	0.202	0.369	1.827
	3 12.0	0.208	0.381	1.832
F	1 2.0	—	—	—
	2 5.0	—	—	—
	3 12.0	—	—	—

3. 実験結果とその考察 i) 流況：流線の測定結果の一例を図-2に示す。実験Fでの表層流線は，B₀/Hによって若干異なるが，大体偏60°~70°付近に集中する。また，底層流線は，30°~40°付近から内岸側へと曲り始め，その様相はB₀/Hの増大につれて顕著となり，弯曲による二次流の発達もB₀/Hによって大きくなることを示している。これは村本²⁾の弯曲二次流の発生域，発達域の区分とも良く一致している。これに対して，弯曲部に分水路を設置した実験A，B，Cのうち，表層流線についてはAとBがほぼ同様なパターンを示す。しかしCは，これをA，Bと後述のD，Eの中間的な様相を示す。一方，分流されることにより

Shigeru KAWAI, Kazuo ASHIDA, Yuichiro TANAKA

α と著しい相違を示すのが底層流線である。A, B
 では B_0/H の小さい場合は表層の流線がほぼ平行であ
 る。 B_0/H が大きくなると、また A, B, C と下流に向うに
 つれ、弯曲による二次流の影響により、分水路に入る
 底層流線は少なくなり、12 l/s の B, C ではついに0と
 なる。このことは Habermas の実験結果とも一致する。

ii) 流量、掃流砂量配分：前述の流線図より、分水路
 へ流入する底層流線の幅 W と主水路幅 B_0 の比が掃流砂
 量配分比 κ_b に等しいという従来の結果³⁾により、
 $\kappa_b = W/B_0$ として、 κ, κ_b の変化を図-3に示してある。
 この κ, κ_b は分流による、主水路から分水路へ向う二
 次流の強さと、弯曲曲線による外岸から内岸へ向う二
 次流の強さの差によって定まるものと考えられる。した
 がって、巻生域にあるか巻達域にあるかといふ、た分水
 路の設置場所により敏感に変化する様子が知られる。

一方、実験 D, E は A, B, C とは異なり、
 弯曲による二次流の影響は少なく、特
 に E は丁型分流と同一であることがわ
 かる。このように、弯曲分流では分水
 路の設置場所により、 κ, κ_b が大きく
 変化し、大へん興味深いことである。

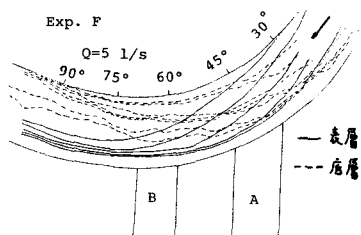
iii) 等価断面幅：芦田・川合⁴⁾の方法に
 よって流量配分比を算定する場合、等
 価断面中 b を推定することは重要であ
 る。そこで、弯曲分流における等価断
 面幅を求めておく。それが図-4に示さ
 れる。ここに、

$$\gamma_2 = \frac{b}{B_2} = \frac{1}{\zeta} \frac{B_2' H}{B_2 H} \quad \text{----- (1)}$$

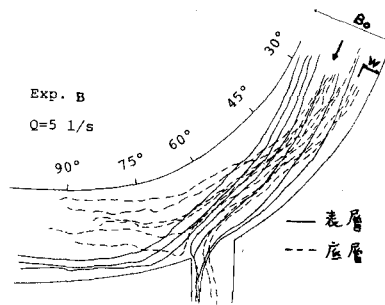
γ_2 ：運動量補正係数、 B_2' ：水路幅から死
 水域幅を除いた幅である。今回の実験
 では、主水路内に死水域は観測されな

かった。したがって等価断面幅比は分水路に対してのみ求められた。また、 γ_2 は実測の流
 速分布を用い計算した。この γ_2 より、分岐による損失水頭は $h_{L2} = \zeta \frac{V_2^2}{2g}$ --- (2)、 $\zeta = f(\gamma_2)$ --- (3)
 より求められ、流量配分比は、 $\kappa = 1/(1+\Omega)$ --- (4)、 $\Omega = f(Fr, \zeta)$ --- (5) より求められる。

計算結果については講演時に述べる。参考文献：1) Habermas; W. u. W. 1935. 2) 村本；
 京大学位論文、3) 田中・川合；青鷗高等紀要12号、4) 芦田・川合；京大財算年報 22号 B.



(a)



(b)

図-2 流線図

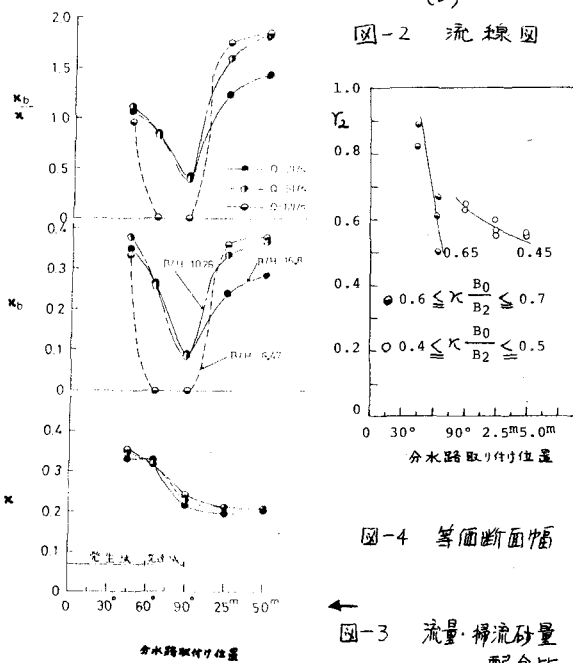


図-4 等価断面幅

図-3 流量・掃流砂量配分比